

# **$^{99}\text{Tc}^m(\text{CO})_3\text{-BPHRGD}$ 的制备及 正常鼠体内生物分布**

卿 晶<sup>1,2</sup>, 陈宝军<sup>1</sup>, 罗联哲<sup>2</sup>, 阳国桂<sup>2</sup>, 洪 业<sup>1,2</sup>,  
韩振义<sup>2,3</sup>, 胡 骥<sup>1,2,\*</sup>

1. 中国原子能科学研究院 同位素研究所,北京 102413; 2. 原子高科股份有限公司,北京 102413;  
3. 门头沟区食品药品监督管理局,北京 102300

**摘要:** 制备了 $^{99}\text{Tc}^m(\text{CO})_3\text{-BPHRGD}$ , 并进行体内外生物学评价。在 pH=7、75 °C 条件下反应 30 min, $^{99}\text{Tc}^m(\text{CO})_3\text{-BPHRGD}$ 的标记率均大于 80%, 纯化后标记物的放射化学纯度大于 98%; 体外稳定性实验显示, 在 37 °C 时, 标记物在生理盐水、胎牛血清及半胱氨酸溶液中具有很好的稳定性; 正常小鼠体内生物分布数据显示, $^{99}\text{Tc}^m(\text{CO})_3\text{-BPHRGD}$ 在血液中清除较快, 主要通过肝肾代谢。

**关键词:** RGD;  $^{99}\text{Tc}^m$ ; 整合素  $\alpha_v\beta_3$ ; 生物分布

**中图分类号:** O615.4    **文献标志码:** A    **文章编号:** 0253-9950(2014)02-0086-06

**doi:** 10.7538/hhx.2014.36.02.0086

## **Preparation of $^{99}\text{Tc}^m(\text{CO})_3\text{-BPHRGD}$ and Biodistribution Evaluation in Normal Mice**

QING Jing<sup>1, 2</sup>, CHEN Bao-jun<sup>1</sup>, LUO Lian-zhe<sup>2</sup>, YANG Guo-gui<sup>2</sup>,  
HONG Ye<sup>1, 2</sup>, HAN Zhen-yi<sup>2, 3</sup>, HU Ji<sup>1, 2, \*</sup>

1. China Institute of Atomic Energy, P. O. Box 275(104), Beijing 102413, China;  
2. Atom Hi-Tech Co., Ltd., Beijing 102413, China;  
3. Mentougou Food and Drug Administration, Beijing 102300, China

**Abstract:**  $^{99}\text{Tc}^m(\text{CO})_3\text{-BPHRGD}$  was prepared, and the *in vitro* and *in vivo* biological evaluations were completed. The labeling yield of  $^{99}\text{Tc}^m(\text{CO})_3\text{-BPHRGD}$  is more than 80% under optimal conditions (pH=7, reacting at 75 °C for 30 min), and the radiochemical purity is more than 98% after purified. Stability *in vitro* experiments show that the radiolabeled compound shows good stability in physiological saline, fetal bovine serum, and cysteine solution under 37 °C. The biodistribution of  $^{99}\text{Tc}^m(\text{CO})_3\text{-BPHRGD}$  in normal mice shows that the metabolic pathways are mainly through liver and kidney with rapid clearance in blood.

**Key words:** RGD;  $^{99}\text{Tc}^m$ ; integrin  $\alpha_v\beta_3$ ; biodistribution

收稿日期: 2013-12-20; 修订日期: 2014-02-20

作者简介: 卿 晶(1985—),男,四川内江人,博士研究生,放射性同位素技术专业

\* 通信联系人: 胡 骥(1966—),男,安徽休宁人,博士生导师,研究员,放射性药物化学专业, E-mail: ji\_hu@caie.ac.cn

血管生成(angiogenesis)是恶性肿瘤生长和转移所必需的<sup>[1-2]</sup>。没有足够的血管,肿瘤就会坏死或凋亡<sup>[3]</sup>。研究发现,整合素 $\alpha_v\beta_3$ 在肿瘤新生血管内皮细胞及多种肿瘤细胞表面有高度表达,而在成熟血管内皮细胞中表达很少<sup>[3-5]</sup>,这使得整合素 $\alpha_v\beta_3$ 已成为肿瘤诊断与治疗的一个重要靶点。RGD 肽是含有精氨酸-甘氨酸-天冬氨酸(Arg-Gly-Asp)序列的一类短肽,能与整合素 $\alpha_v\beta_3$ 受体特异性结合<sup>[6]</sup>,因此,放射性核素标记的含 RGD 肽的放射性药物备受关注,并应用于肿瘤的诊断与治疗<sup>[7-12]</sup>。目前以 RGD 为核心的基础上衍生出多种形式,如环状 RGD、多价 RGD、糖基化或 PEG 修饰 RGD、螯合剂偶联的 RGD、纳米载体的 RGD 等。

利用 $^{90}\text{Y}$ 、 $^{111}\text{In}$ 、 $^{177}\text{Lu}$ 、 $^{99}\text{Tc}^m$ 等核素标记多肽时,需要引入适当的双功能螯合剂,不同的双功能螯合剂会引起标记物体内性质的改变<sup>[13]</sup>。 $^{99}\text{Tc}^m$ 有着优良的物理性质,在放射性药物在临床核医学诊断中占主导地位,其用量约占临床诊断用放射性药物的 85%以上。

鉴于 $^{99}\text{Tc}^m$ 标记药物在临床应用中的优势,国内外多用 $^{99}\text{Tc}^m$ -HYNIC 标记 RGD 及其衍生物应用于肿瘤的诊断<sup>[14-15]</sup>。本研究通过对目前研究较多的 c(RGDyK)(图 1)进行结构修饰,设计并合成 6-(二(吡啶-2-甲基)氨基)己酸-RGD(BPHRGD)(图 1),用 $[^{99}\text{Tc}^m(\text{CO})_3(\text{H}_2\text{O})_3]^{+}$ 标记,拟得到 $^{99}\text{Tc}^m(\text{CO})_3$ -BPHRGD,并进行正常鼠

体内外生物学评价。另外,BPHRGD 中的 3N 结构同时也可以与 Cu 配位<sup>[16]</sup>,因此可制备 $^{64}\text{Cu}$ -BPHRGD 用于 PET 显像研究。

## 1 实验材料

### 1.1 实验动物

雌性昆明小白鼠,一级,约 25 g,由中国医学科学院肿瘤研究所提供。

### 1.2 试剂及仪器

$2,3,5,6$ -四氟苯酚、 $N,N'$ -二环己基碳二亚胺(EDC)、2-氯甲基吡啶盐酸盐,均由美国阿尔法公司提供;半胱氨酸盐酸盐,上海康达氨基酸厂; $\text{NaBH}_4$ ,分析纯,美国百灵威公司;c(RGDyK),纯度 99.25%,吉尔生化(上海)有限公司; $\text{CO}$ ,纯度 99.99%,北京市亚南气体有限公司; $\text{Na}^{99}\text{Tc}^m\text{O}_4$ 淋洗液,原子高科股份有限公司;甲醇、乙腈,色谱纯,美国 Burdick&Jackson 公司;其他化学试剂,分析纯,北京化学试剂公司。

RE-52 型旋转蒸发仪,上海博通公司;高纯水器,美国 Millipore 公司;1470 自动伽玛计数器,芬兰 Perkin Elmer 公司;C-18 Sep-Pak 色谱柱,美国 Waters 公司;CRC-15R 放射性活度计,美国 Capintec 公司。ProStar 320 型 HPLC,美国 Varian 公司;C18 色谱柱, Hypersil ODS  $\varnothing 4.6 \text{ mm} \times 250 \text{ mm}$ ;GABI 型高效液相色谱放射性监控仪,德国 Raytest 公司。

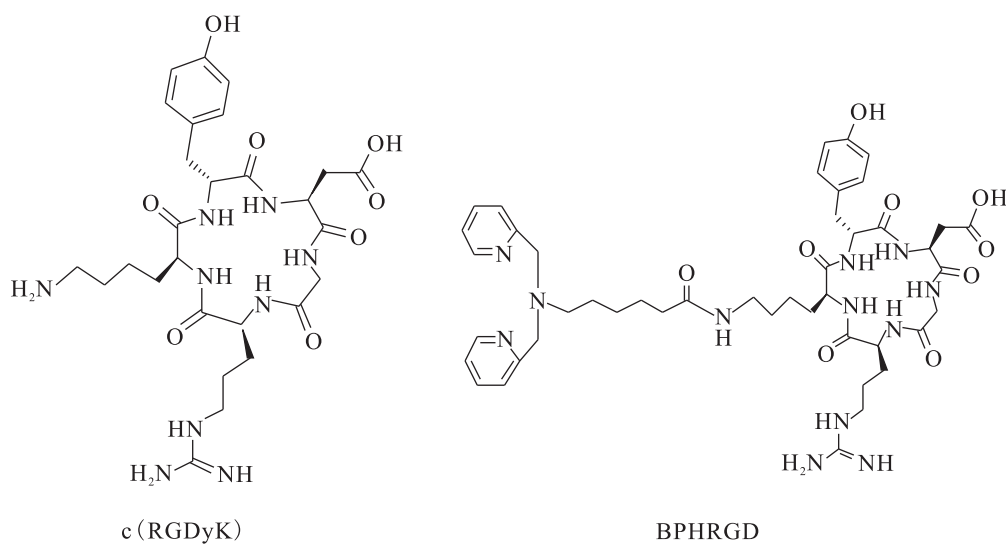


图 1 c(RGDyK)与 BPHRGD 的结构

Fig. 1 Structure of c(RGDyK) and BPHRGD

## 2 实验方法

### 2.1 质量控制方法

HPLC 法: 溶剂 A 为 0.1% 三氟乙酸 (TFA)/H<sub>2</sub>O, 溶剂 B 为 0.1% TFA/乙腈, 流速 1 mL/min, 紫外检测器波长 220 nm。梯度洗脱程序为: 0—1 min, 0% 溶剂 B; 1—15 min, 0%~90% 溶剂 B; 15—16 min, 90% 溶剂 B; 16—18 min, 90%~0% 溶剂 B; 18—20 min, 0% 溶剂 B。

### 2.2 BPHRGD 的合成

BPHRGD 的合成路线示于图 2。

**2.2.1 6-(二(吡啶-2-甲基)氨基)己酸 (6-(bis(pyridin-2-ylmethyl) amino) hexanoic acid) 的合成<sup>[16]</sup>** 取 2.624 0 g (0.02 mol) 6-氨基己酸溶于 30 mL 水中, 再加入 6.889 7 g (0.042 mol) 2-氯甲基吡啶盐酸盐和 3.2 g (0.08 mol) NaOH, 常温搅拌 1 d。反应结束后, 首先在碱性条件下用 20 mL

氯仿萃取 3 次, 再用 1 mol/L HCl 调节水层的 pH 值为 3, 再用 20 mL 氯仿萃取 3 次, 收集酸性萃取层, 旋蒸除去溶剂后, 得红色的油状物, 经柱色谱纯化后得黄色油状物, 真空干燥。

### 2.2.2 6-(二(吡啶-2-甲基)氨基)己酸-(2,3,5,6-四氟苯酚 6-(bis(pyridin-2-ylmethyl) amino)hexanoate) 的合成<sup>[17]</sup>

取 0.130 8 g (0.417 5 mmol) 6-(二(吡啶-2-甲基)氨基)己酸溶于 4 mL 二氯甲烷, 再加入 0.160 1 g (0.835 mmol) 1-乙基-(3-二甲基氨基丙基)碳酰二亚胺盐酸盐 (EDC), 常温下震荡 30 min 后, 加入 0.104 0 g (0.626 3 mmol) 2,3,5,6-四氟苯酚, 常温下震荡 6 h。反应结束后, 旋蒸除去溶剂后, 用乙酸乙酯溶解产物, 再用饱和 Na<sub>2</sub>CO<sub>3</sub> 洗乙酸乙酯 4 次, 经柱色谱纯化后得黄色油状物, 真空干燥。

### 2.2.3 BPHRGD 合成

取 5 mg RGD 溶于 1 mL N,N-二甲基甲酰胺 (DMF) 和 30 μL (0.24 mmol) 三

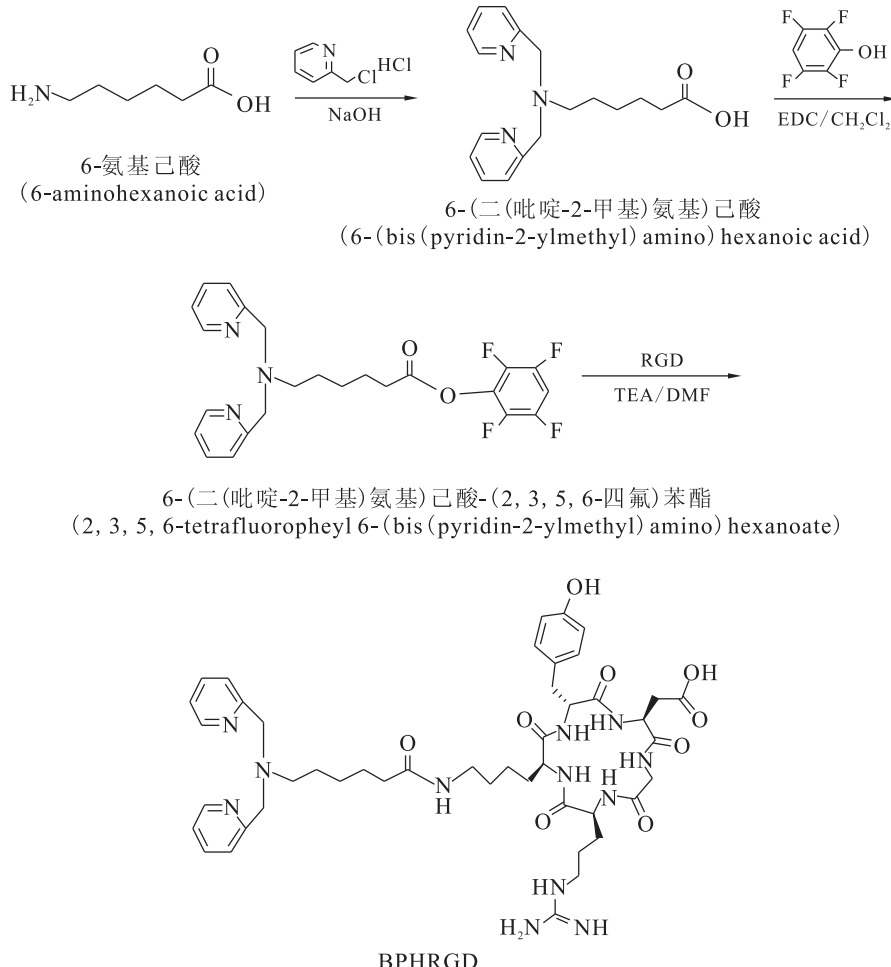


图 2 BPHRGD 的合成路线

Fig. 2 Synthesis of BPHRGD

乙胺中,然后加入 10 mg(0.021 7 mmol)6-(二(吡啶-2-甲基)氨基)己酸-(2,3,5,6-四氟)苯酯,室温振荡 2 h,用油泵抽去溶剂,残留物溶于 0.5 mL 水中,通过 HPLC 分离纯化,浓缩后,冻干,冷藏待用。

### 2.3 $[^{99}\text{Tc}^m(\text{CO})_3(\text{H}_2\text{O})_3]^+$ 中间体的制备

在 10 mL 青霉素瓶中先加入 4 mg  $\text{Na}_2\text{CO}_3$ , 5.5 mg  $\text{NaBH}_4$ , 15 mg 酒石酸钾钠,然后加入 0.5 mL 去离子水溶解,密封后通入 CO 气体 15 min,将瓶中空气排净。然后用注射器加入 1 mL  $\text{Na}^{99}\text{Tc}^m\text{O}_4$  洗脱液( $1.85 \times 10^8 \sim 1.85 \times 10^9$  Bq),在 75 °C 条件下加热反应 30 min(图 3),冷却至室温后,用 1 mol/L HCl 调 pH=7,用 HPLC 法分析其放化纯。

### 2.4 $^{99}\text{Tc}^m(\text{CO})_3\text{-BPHRGD}$ 的制备

取 3 mL 青霉素真空瓶,然后加入 30  $\mu\text{L}$  BPHRGD 肽的溶液(1 g/L, pH=7)和 0.1 mL 新鲜制备的羧基锝溶液 [ $^{99}\text{Tc}^m(\text{CO})_3(\text{H}_2\text{O})_3]^+$ , 75 °C 下反应 30 min(图 3),待反应溶液冷却到室温后,用 HPLC 法分析标记物的标记率,再用 C18 Sep-Pak 反向萃取柱对标记物进行了纯化,用 HPLC 法分析标记物放化纯。

### 2.5 $^{99}\text{Tc}^m(\text{CO})_3\text{-BPHRGD}$ 的脂水分配系数测定

取 20  $\mu\text{L}$  纯化后的  $^{99}\text{Tc}^m(\text{CO})_3\text{-BPHRGD}$ , 加入到含 500  $\mu\text{L}$  正辛醇和 480  $\mu\text{L}$  磷酸盐缓冲溶液(PBS, pH=7.4, 0.05 mol/L)的 EP 管中, 涡旋混匀 30 min 后在 2 000 r/min 条件下离心 15 min, 分别取 100  $\mu\text{L}$  有机相和水相测量放射性计数,计算标记物的脂水分配系数 P(有机相计数/水相计数)及  $\lg P$ 。

### 2.6 $^{99}\text{Tc}^m(\text{CO})_3\text{-BPHRGD}$ 的体外稳定性

将标记物分别稀释于生理盐水、10% 胎牛血清、0.01 mol/L 半胱氨酸溶液中,于 37 °C 下放置 24 h, 分别于 1、2、4、6、24 h 取样,用 HPLC 法检测标记物的放射化学纯度。

### 2.7 正常鼠体内生物学分布

取雌性昆明小白鼠 16 只,随机分组,每组 4 只。经尾静脉注射 0.1 mL 标记物(约 1.5 MBq,

含 BPHRGD 肽小于 1  $\mu\text{g}$ ),于注射后 10、30、60、240 min 断颈处死小鼠,取血、心、肝、脾、肺、肾、胃、肠、肌肉、肾上腺等主要脏器,称重并测量其放射性计数,经衰变校正后,计算每克组织百分注射剂量率(ID%/g),获得标记物在正常小鼠体内生物学分布数据。

## 3 结果与讨论

### 3.1 6-(二(吡啶-2-甲基)氨基)己酸(6-(bis(pyridin-2-ylmethyl)amino)hexanoic acid)的合成表征

随着反应的进行,反应液由无色变为红褐色,TLC 展开剂为氯仿/甲醇(体积比为 9:1), $R_f = 0.3$ 。此反应的副产物较多,纯化困难,经柱色谱纯化后得黄色油状物 1.13 g,产率为 18%。

$^1\text{H-NMR}$ (400 MHz,  $\text{CDCl}_3$ ,  $\delta$ ): 8.55~8.53(d, 2H,  $\text{H}_{\text{Py}-6}$ ,  $J = 4.9$  Hz); 7.68~7.64(t, 2H,  $\text{H}_{\text{Py}-4}$ ,  $J = 7.6$  Hz); 7.56~7.54(d, 2H,  $\text{H}_{\text{Py}-3}$ ,  $J = 7.8$  Hz); 7.19~7.15(t, 2H,  $\text{H}_{\text{Py}-5}$ ,  $J = 6.1$  Hz); 3.88(s, 4H,  $\text{H}_{\text{Py}-a}$ ); 2.62~2.58(t, 2H, 1- $\text{CH}_2$ ,  $J = 7.3$  Hz); 2.33~2.28(t, 2H, 5- $\text{CH}_2$ ,  $J = 7.4$  Hz); 1.64~1.56(m, 4H, 2- $\text{CH}_2 + 4\text{-CH}_2$ ); 1.35~1.29(m, 2H, 3- $\text{CH}_2$ )。MS (ESI):  $m/z$  [C<sub>18</sub>H<sub>24</sub>N<sub>3</sub>O<sub>2</sub>]<sup>+</sup> (M+H)<sup>+</sup>, 314.18; 实测值, 314.2。

### 3.2 6-(二(吡啶-2-甲基)氨基)己酸-(2,3,5,6-四氟)苯酯(2,3,5,6-tetrafluorophenyl 6-(bis(pyridin-2-ylmethyl)amino)hexanoate)的合成表征

反应通过紫外显色监测反应进程,TLC 展开剂为氯仿/甲醇(体积比 9:1), $R_f = 0.5$ 。经柱色谱纯化后得黄色油状物,干燥称重得 0.077 g,产率为 40%。

$^1\text{H-NMR}$ (400 MHz,  $\text{CDCl}_3$ ,  $\delta$ ): 8.52~8.80(d, 2H,  $\text{H}_{\text{Py}-6}$ ,  $J = 4.9$  Hz); 7.67~7.62(t, 2H,  $\text{H}_{\text{Py}-4}$ ,  $J = 7.6$  Hz); 7.55~7.53(d, 2H,  $\text{H}_{\text{Py}-3}$ ,  $J = 7.7$  Hz); 7.16~7.12(t, 2H,  $\text{H}_{\text{Py}-5}$ ,  $J = 6.1$  Hz); 7.02~6.93(m, 1H, ArF<sub>4</sub>H); 3.84(s, 4H,  $\text{H}_{\text{Py}-a}$ ); 2.62~2.58(t, 2H, 1- $\text{CH}_2$ ,  $J = 7.3$  Hz); 2.61~

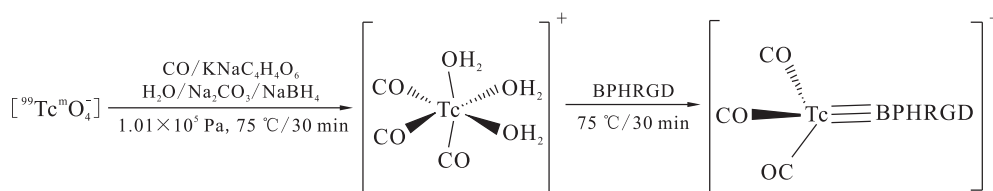


图 3  $^{99}\text{Tc}^m(\text{CO})_3\text{-BPHRGD}$  制备路线图

Fig. 3 Preparation of  $^{99}\text{Tc}^m(\text{CO})_3\text{-BPHRGD}$

2.56(t,2H,5-CH<sub>2</sub>,J=7.5 Hz);1.73~1.65(m,2H,4-CH<sub>2</sub>);1.64~1.56(m,2H,2-CH<sub>2</sub>);1.43~1.35(m,2H,3-CH<sub>2</sub>)。MS(FAB):*m/z*[C<sub>24</sub>H<sub>24</sub>F<sub>4</sub>N<sub>3</sub>O<sub>2</sub>]<sup>+</sup>(M+H)<sup>+</sup>,462.18;实测值,462.1。

### 3.3 BPHRGD的合成表征

为使RGD反应完全,6-(二(吡啶-2-甲基)氨基)己酸-(2,3,5,6-四氟)苯酯应适当过量。此偶联反应迅速,在室温下振荡1.5 h即可反应完全。由于DMF在HPLC中有较强的吸收峰,在用HPLC纯化产物时有很大的干扰,因此应先除去DMF溶剂后再进行纯化。纯化后经冻干得纯度大于99%的白色粉末3.77 mg,产率约为51%。MS(ESI):*m/z*[C<sub>45</sub>H<sub>63</sub>N<sub>12</sub>O<sub>9</sub>]<sup>+</sup>(M+H)<sup>+</sup>,915.48;实测值,915.1。

### 3.4 [<sup>99</sup>Tc<sup>m</sup>(CO)<sub>3</sub>(H<sub>2</sub>O)<sub>3</sub>]<sup>+</sup>和<sup>99</sup>Tc<sup>m</sup>(CO)<sub>3</sub>-BPHRGD的制备

[<sup>99</sup>Tc<sup>m</sup>(CO)<sub>3</sub>(H<sub>2</sub>O)<sub>3</sub>]<sup>+</sup>的制备方法已经很成熟,在通入足量CO和保证NaBH<sub>4</sub>不发生潮解的情况下可以高产率地制得。放化纯(RCP)可以达到99%以上。制备完成后将pH值调为中性,常温下,[<sup>99</sup>Tc<sup>m</sup>(CO)<sub>3</sub>(H<sub>2</sub>O)<sub>3</sub>]<sup>+</sup>可稳定放置24 h以上。优化标记条件后,<sup>99</sup>Tc<sup>m</sup>(CO)<sub>3</sub>-BPHRGD的标记率可稳定在80%以上,经C-18 Sep-Pak柱纯化后,标记物放射化学纯度大于98%(图4),纯化后,<sup>99</sup>Tc<sup>m</sup>(CO)<sub>3</sub>-BPHRGD的比活度为3.29×10<sup>15</sup>Bq/kg(比活度=A·Y/m,其中A为总活度,Y为标记率,m为BPHRGD的投料质量)。

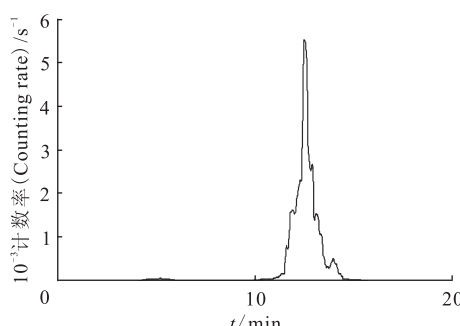


图4 纯化后的<sup>99</sup>Tc<sup>m</sup>(CO)<sub>3</sub>-BPHRGD

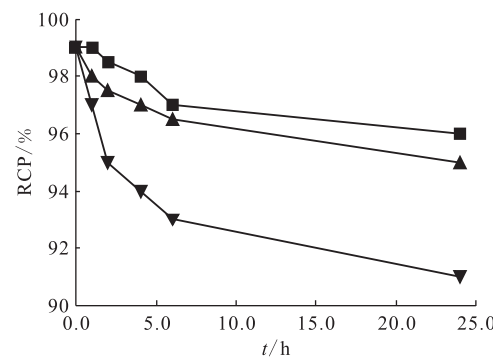
Fig. 4 <sup>99</sup>Tc<sup>m</sup>(CO)<sub>3</sub>-BPHRGD purified

### 3.5 <sup>99</sup>Tc<sup>m</sup>(CO)<sub>3</sub>-BPHRGD的脂水分配系数

<sup>99</sup>Tc<sup>m</sup>(CO)<sub>3</sub>-BPHRGD的脂水分配系数P=0.227,lg P=-0.644,脂溶性较好,这可能是由于BPHRGD增长了RGD碳链的缘故,这与它们在肝中有较高的摄取值一致。

### 3.6 <sup>99</sup>Tc<sup>m</sup>(CO)<sub>3</sub>-BPHRGD的体外稳定性结果

37℃下,<sup>99</sup>Tc<sup>m</sup>(CO)<sub>3</sub>-BPHRGD在生理盐水和胎牛血清中具有很高的稳定性(图5)。放置24 h,其稳定性无显著变化,其放化纯始终高于95%。<sup>99</sup>Tc<sup>m</sup>(CO)<sub>3</sub>-BPHRGD的放化纯在半胱氨酸溶液中略有下降,但始终高于90%,表明<sup>99</sup>Tc<sup>m</sup>(CO)<sub>3</sub>-BPHRGD基本不与巯基发生配体交换反应。由于生物体内含有一些游离的巯基化合物,与<sup>99</sup>Tc<sup>m</sup>标记物在体内竞争络合,体外竞争稳定性实验结果可以间接反映<sup>99</sup>Tc<sup>m</sup>标记物在生物体内的稳定性,由此可推断<sup>99</sup>Tc<sup>m</sup>(CO)<sub>3</sub>-BPHRGD在生物体内比较稳定。



■——生理盐水(Saline),▲——胎牛血清(Serum),

▼——半胱氨酸(Cysteine)

图5 <sup>99</sup>Tc<sup>m</sup>(CO)<sub>3</sub>-BPHRGD的稳定性

Fig. 5 Stability of <sup>99</sup>Tc<sup>m</sup>(CO)<sub>3</sub>-BPHRGD

### 3.7 正常鼠体内生物分布

表1列出了<sup>99</sup>Tc<sup>m</sup>(CO)<sub>3</sub>-BPHRGD在正常小鼠体内的生物分布数据。由表1可知,<sup>99</sup>Tc<sup>m</sup>(CO)<sub>3</sub>-BPHRGD注入体内10、30、60、240 min后,标记物在血液中的清除较快;肝中的摄取值最高,与标记物具有较高的脂水分配系数一致(lg P=-0.644),说明标记物主要通过肝脏代谢;肾作为药物的代谢产物的主要排泄器官,也有较高的摄取;因此可以判断标记物通过肝脏代谢、肾脏排泄。

## 4 结论

本研究工作合成的RGD衍生物BPHRGD能很好地进行[<sup>99</sup>Tc<sup>m</sup>(CO)<sub>3</sub>(H<sub>2</sub>O)<sub>3</sub>]<sup>+</sup>标记,在体外具有很好的稳定性。在一系列标记条件优化实验基础上,<sup>99</sup>Tc<sup>m</sup>(CO)<sub>3</sub>-BPHRGD的标记率达到80%,纯化后标记物的放射化学纯度大于98%,标记物在正常鼠体内分布研究显示,<sup>99</sup>Tc<sup>m</sup>(CO)<sub>3</sub>-BPHRGD在血液中清除较快,主要通过肝肾代

表1 <sup>99m</sup>Tc-(CO)<sub>3</sub>-BPHRGD在正常小鼠体内分布  
Table 1 Biodistribution of <sup>99m</sup>Tc-(CO)<sub>3</sub>-BPHRGD in normal mice

组织(Tissues)	每克组织百分注射剂量率(Percentage injected dose per gram)/(ID% · g <sup>-1</sup> )			
	10 min	30 min	60 min	240 min
血(Blood)	6.61±0.30	3.30±0.31	2.03±0.09	1.35±0.12
心(Heart)	4.29±0.21	3.01±0.71	1.98±0.39	1.38±0.06
肝(Liver)	32.86±0.89	32.49±0.44	26.05±1.12	23.58±0.82
脾(Spleen)	2.60±0.28	1.95±0.33	1.22±0.27	0.91±0.07
肺(Lung)	7.63±0.25	4.09±0.22	2.52±0.53	1.86±0.10
肾(Kidney)	27.83±0.77	15.45±0.57	9.09±1.18	8.56±0.15
胃(Stomach)	5.48±0.47	3.99±0.40	3.13±0.21	2.23±0.33
小肠(Intestine)	15.89±0.77	9.37±0.83	3.50±0.33	3.78±0.01
肌肉(Muscle)	1.82±0.23	1.37±0.09	1.04±0.13	0.83±0.20
肾上腺(Adrenal)	4.91±0.36	6.52±0.72	4.58±0.08	3.38±0.11

注(Note):n=4

谢。在下一步的研究工作中,将通过荷瘤裸鼠实验进一步对<sup>99m</sup>Tc-(CO)<sub>3</sub>-BPHRGD进行评价,以期研制出适于肿瘤显像诊断的多肽放射性药物。

## 参考文献:

- [1] Carmeliet P. Angiogenesis in health and disease[J]. Nat Med, 2003, 9(6): 653-660.
- [2] Folkman J. Tumor angiogenesis: therapeutic implications[J]. N Engl J Med, 1971, 285(21): 1182-1186.
- [3] Brooks P C, Clark R A, Cheresh D A. Requirement of vascular integrin alpha v beta 3 for angiogenesis[J]. Science, 1994, 264(5158): 569-571.
- [4] Ruoslahti E. Specialization of tumour vasculature[J]. Nat Rev Cancer, 2002, 2(2): 83-90.
- [5] Zitzmann S, Ehemann V, Schwab M. Arginine-glycine-aspartic acid (RGD)-peptide binds to both tumor and tumor-endothelial cells *in vivo*[J]. Cancer Res, 2002, 62(18): 5139-5143.
- [6] Pasqualini R, Koivunen E, Ruoslahti E. Alpha v integrins as receptors for tumor targeting by circulating ligands[J]. Nat Biotechnol, 1997, 15(6): 542-546.
- [7] Bianchini F, Cini N, Trabocchi A, et al. (125)I-radiolabeled morpholine-containing arginine-glycine-aspartate(RGD) ligand of alpha(v)beta(3) integrin as amolecular imaging probe for angiogenesis[J]. J Med Chem, 2012, 55(11): 5024-5033.
- [8] 张春丽,王荣福,张丽,等.靶向整合素 $\alpha\beta_3$ 受体的新型RGD肽二聚体的<sup>131</sup>I标记与生物活性的初步评价[J].北京大学学报(医学版),2011,43(2):295-300.
- [9] Liu Z, Huang J, Dong C, et al. <sup>99m</sup>Tc-labeled RGD-BBN peptide for small-animal SPECT/CT of lung carcinoma[J]. Mol Pharm, 2012, 9(5): 1409-1417.
- [10] Liu Z, Shi J, Jia B, et al. Two <sup>90</sup>Y-labeled multimeric RGD peptides RGD4 and 3PRGD2 for integrin targeted radionuclide therapy[J]. Mol Pharm, 2011, 8(2): 591-599.
- [11] Liu Z, Niu G, Wang F, et al. (68)Ga-labeled NOTA-RGD-BBN peptide for dual integrin and GRPR-targeted tumor imaging[J]. Eur J Nucl Med Mol Imaging, 2009, 36(9): 1483-1494.
- [12] Briat A, Wenk C H, Ahmadi M, et al. Reduction of renal uptake of <sup>111</sup>In-DOTA-labeled and A700-labeled RAFT-RGD during integrin alpha v beta 3 targeting using single photon emission computed tomography and optical imaging[J]. Cancer Sci, 2012, 103(6): 1105-1110.
- [13] Liu S, Edwards D S. Bifunctional chelators for therapeutic lanthanide radiopharmaceuticals[J]. Bioconjug Chem, 2001, 12(1): 7-34.
- [14] Zhou Y, Kim Y S, Chakraborty S, et al. <sup>99m</sup>Tc-labeled cyclic RGD peptides for noninvasive monitoring of tumor integrin alpha v beta 3 expression[J]. Mol Imaging, 2011, 10(5): 386-397.
- [15] Bohn P, Modzelewski R, Rouvet J, et al. Biodistribution and imaging of [<sup>99m</sup>Tc]-HYNIC-RGD in MDA-MB-231 and NTERA-2 cancer cell xenografts[J]. Nucl Med Commun, 2013, 34(7): 709-717.
- [16] Kirin S I, Dubon P, Weyhermuller T, et al. Amino acid and peptide bioconjugates of copper(II) and zinc(II) complexes with a modified N,N-bis(2-picoly) amine ligand[J]. Inorg Chem, 2005, 44(15): 5405-5415.
- [17] Kim I S, Yoo T M, Kobayashi H, et al. Chemical modification to reduce renal uptake of disulfide-bonded variable region fragment of anti-Tac monoclonal antibody labeled with <sup>99m</sup>Tc [J]. Bioconjug Chem, 1999, 10(3): 447-453.